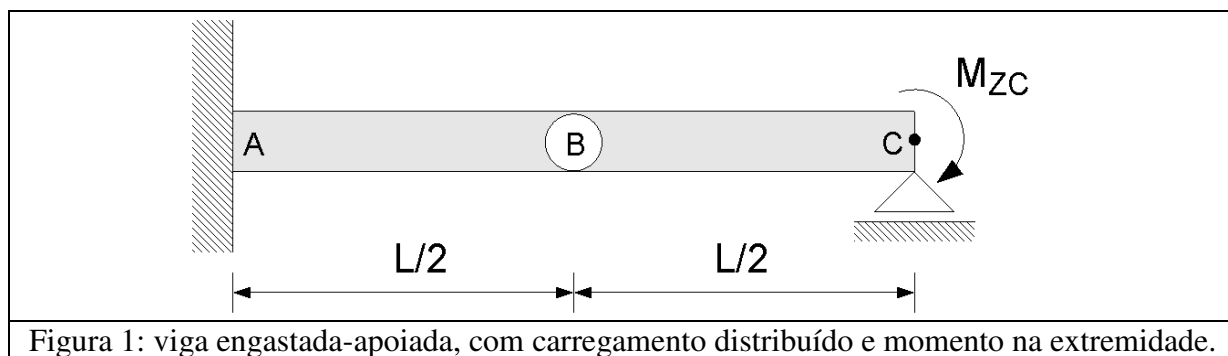
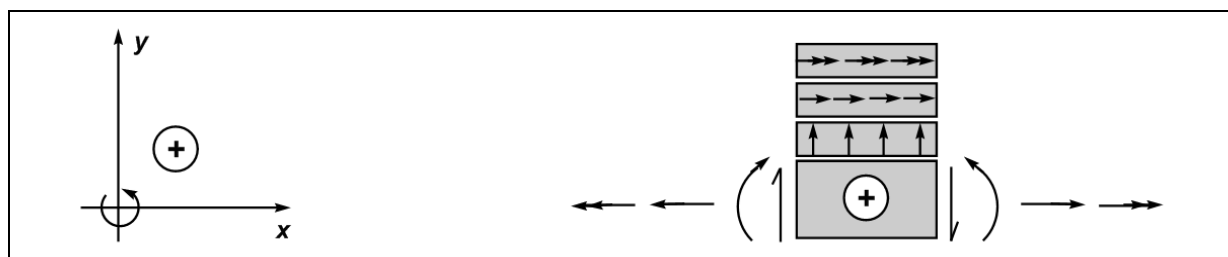


Gabarito: Exame de Resistência dos Materiais I – EM406

9 de Dezembro de 2008

Questão 1 (4,0 pontos): A viga ilustrada pela Figura 1 é engastada na extremidade esquerda e apoiada na extremidade direita. Há uma rótula no ponto B, e um momento M_{ZC} aplicado na extremidade direita. Para esta viga, determine:

- Os diagramas de esforço cortante e momento fletor;
- O valor do momento fletor máximo, e onde ele ocorre;
- A reação de apoio no vínculo C;
- Este problema pode ser resolvido usando uma equação diferencial de segunda ordem ou mesmo o método das seções. Contudo, na teoria técnica temos trabalhado com equações diferenciais de quarta ordem para vigas. Qual a vantagem de usar essas equações de quarta ordem, uma vez que o problema fica mais difícil de resolver?

**Solução****1) Eixos e convenções****2) Equação Diferencial**

$$\frac{d^2}{dx^2} M_z(x) = q(x) \quad (1)$$

3) Equação de carregamento

$$q(x) = 0 \quad (2)$$

4) Condições de Contorno e restrição

Condições de contorno

$$M_z(x=L) = -M_{zc} \quad (3)$$

Equação de Restrição

$$M_z(x=L/2) = 0 \quad (\text{rótula}) \quad (4)$$

5) Integração da equação diferencial

Substitui-se (2) em (1) para se obter

$$\frac{d^2}{dx^2} M_z(x) = 0 \quad (5)$$

Integrando uma vez:

$$\frac{d}{dx} M_z(x) = V_y(x) = C_1 \quad (6)$$

Integrando novamente:

$$M_z(x) = C_1 x + C_2 \quad (7)$$

6) Determinação das constantes de integração

Aplicando (4) em (7), tem-se:

$$M_z(x=L/2) = C_1 \frac{L}{2} + C_2 = 0$$

$$C_2 = -\frac{1}{2} C_1 L \quad (8)$$

Aplicando (3) e (8) em (7), tem-se:

$$M_z(x=L) = C_1 L + C_2 = C_1 L + \left(-\frac{1}{2} C_1 L\right) = -M_{zc}$$

$$\Rightarrow C_1 = -\frac{2}{L} M_{zc} \quad (9)$$

Assim, de (9) em (8), tem-se:

$$C_2 = -C_1 \frac{L}{2} = -\left(-\frac{2}{L} M_{zc}\right) \frac{L}{2} = M_{zc} \quad (10)$$

7) Equações finais

Substitui-se (9) e (10) em (6) e (7) para se obter as expressões finais de força cortante e momento fletor:

$$V_Y(x) = -\frac{2}{L} M_{ZC} \quad (11)$$

$$M_Z(x) = -\frac{2M_{ZC}}{L} x + M_{ZC} \quad (12)$$

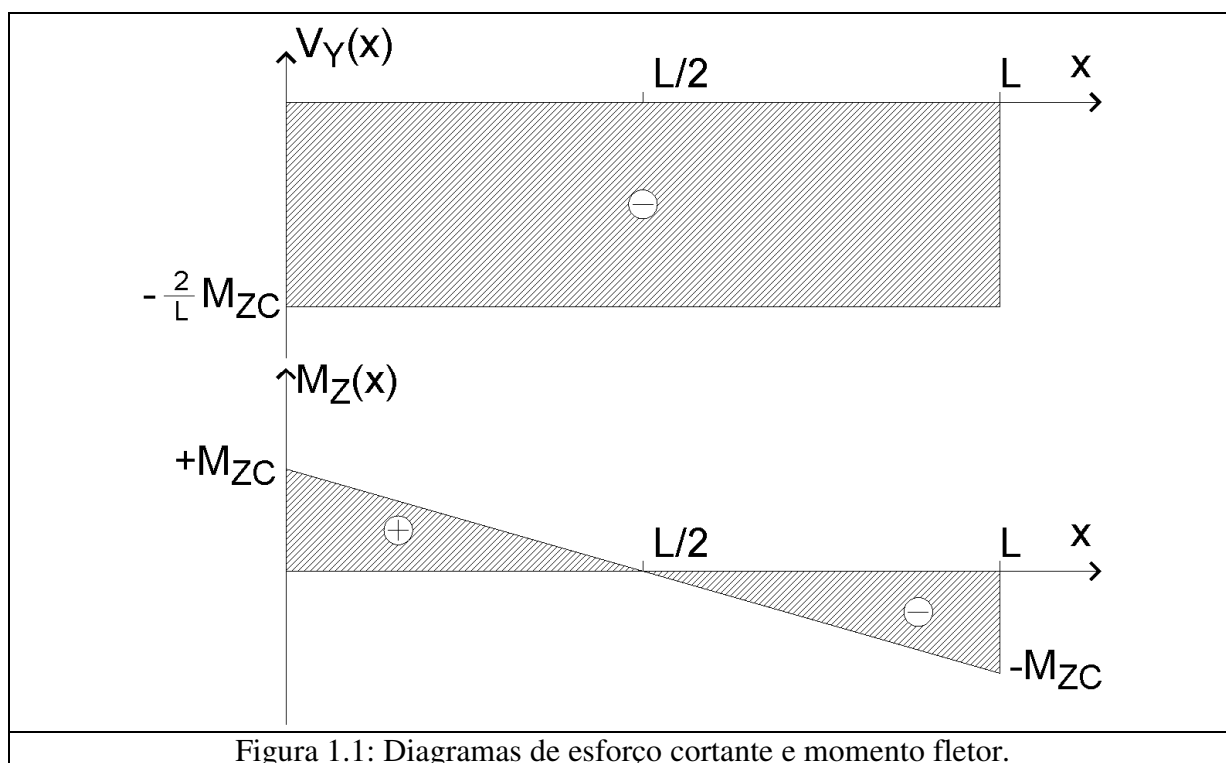
8) Diagramas de esforço cortante

Figura 1.1: Diagramas de esforço cortante e momento fletor.

9) Análise

O momento fletor é máximo no engaste e no vínculo C, com valor M_{ZC} . A reação de apoio no vínculo C pode ser determinada tanto pela Equação 11 quanto pelo gráfico. O valor é $-2M_{ZC}/L$.

A vantagem de usar as equações de quarta ordem para vigas é que assim podemos também resolver problemas hiperestáticos. Esse problema só pôde ser resolvido pela Equação 1 porque trata-se de um problema isostático.

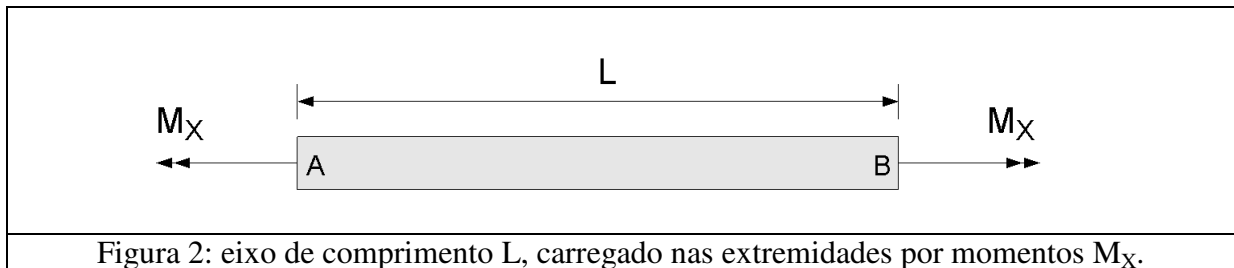
Gabarito: Exame de Resistência dos Materiais I – EM406

9 de Dezembro de 2008

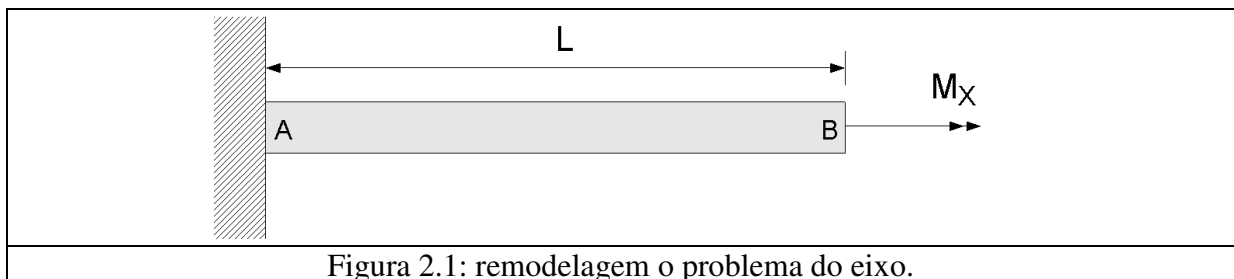
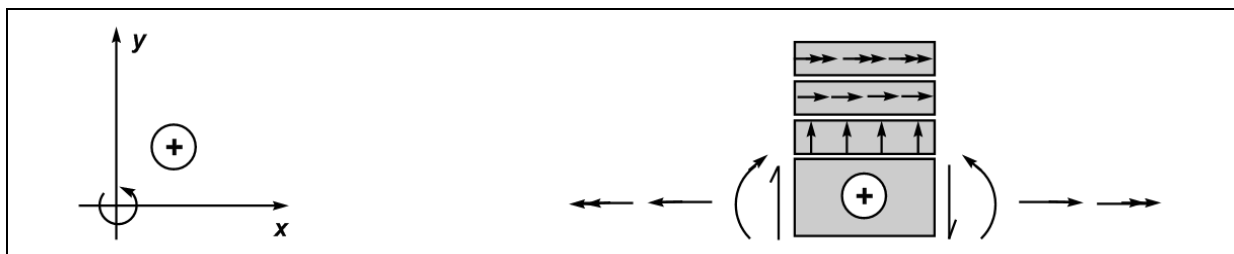
Questão 2 (2,5 pontos): Em aplicações comuns de engenharia, o ângulo de torção que os eixos sofrem são muito pequenos.

- Se o eixo da Figura 2 tem 10 cm de diâmetro e é feito de aço, que comprimento deveria ter para que o ponto B torcesse uma volta inteira em relação ao ponto A?
- Faça um esboço da distribuição de tensão para o ponto $x=L/2$, e indique o valor da tensão máxima.

Dados: $M_X = 2000 \text{ N}\cdot\text{m}$; $G_{\text{AÇO}} = 75 \text{ GPa}$.

**Solução**

É preciso estabelecer uma das extremidades como referência para determinação de ângulos de torção. Assim, o problema pode ser modelado como na Figura 2.1.

**1) Eixos e convenções****2) Equação Diferencial**

$$J_p G \frac{d^2}{dx^2} \phi(x) = -t(x)$$

(1)

3) Equação de carregamento

$$t(x) = 0 \quad (2)$$

4) Condições de contorno

$$\phi(x = 0) = 0 \quad (3)$$

$$M_X(x = L) = M_X \quad (4)$$

5) Integração da equação diferencial

Substitui-se (2) em (1) para se obter

$$J_p G \frac{d^2}{dx^2} \phi(x) = 0 \quad (5)$$

Integrando uma vez:

$$J_p G \frac{d}{dx} \phi(x) = M_X(x) = C_1 \quad (6)$$

Integrando novamente:

$$J_p G \cdot \phi(x) = C_1 x + C_2 \quad (7)$$

6) Determinação das constantes de integração

Aplicando (3) em (7), tem-se:

$$J_p G \cdot \phi(x = 0) = C_1 \cdot 0 + C_2 = 0 \Rightarrow C_2 = 0 \quad (8)$$

Aplicando (4) em (6), tem-se:

$$M_X(x = L) = C_1 = M_X \Rightarrow C_1 = M_X \quad (9)$$

7) Equações finais

Substitui-se (8) e (9) em (6) e (7) para se obter as expressões finais de ângulo de torção e momento torsor:

$$M_X(x) = M_X \quad (10)$$

$$J_p G \cdot \phi(x) = M_X x \quad (11)$$

8) Análise

Como estamos usando a face A como referência (com ângulo de torção igual a zero), o ângulo da face B em relação a A é dado por:

$$\phi_{BA} = \phi(x = L) = \frac{M_x L}{J_p G},$$

em que J_p é o momento polar de inércia,

$$J_p = \frac{\pi}{2} r^4 = \frac{\pi}{32} d^4$$

Determinando L para que esta torção seja de uma volta inteira:

$$L = \frac{\phi_{BA} J_p G}{M_x} = \frac{(2\pi) G \left(\frac{\pi d^4}{32} \right)}{M_x} = \frac{(2\pi)(75 \cdot 10^9 \text{ Pa}) \cdot \pi (0,1 \text{ m})^4}{(2000 \text{ N} \cdot \text{m}) \cdot 32}$$

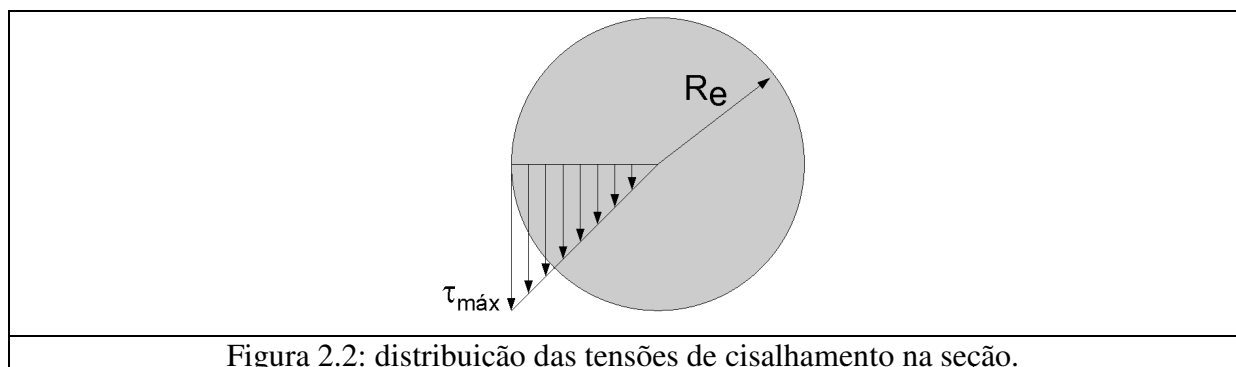
$$L = 2,31 \text{ km}$$

A tensão de cisalhamento em uma seção do eixo é dada por:

$$\tau_{xy}(r) = \frac{M_x}{J_p} r = \frac{2M_x}{\pi r^3}$$

$$\begin{cases} \tau_{xy}(r=0) = 0 \\ \tau_{xy}(r=R_e) = \frac{2M_x}{\pi r^3} = \frac{2(2000 \text{ N} \cdot \text{m})}{\pi (0,05 \text{ m})^3} = 10,18 \text{ MPa} \end{cases}$$

A distribuição das tensões de cisalhamento na seção $x=L/2$ é mostrada na Figura 2.2, e o valor máximo é 10,18 MPa, como calculado acima.

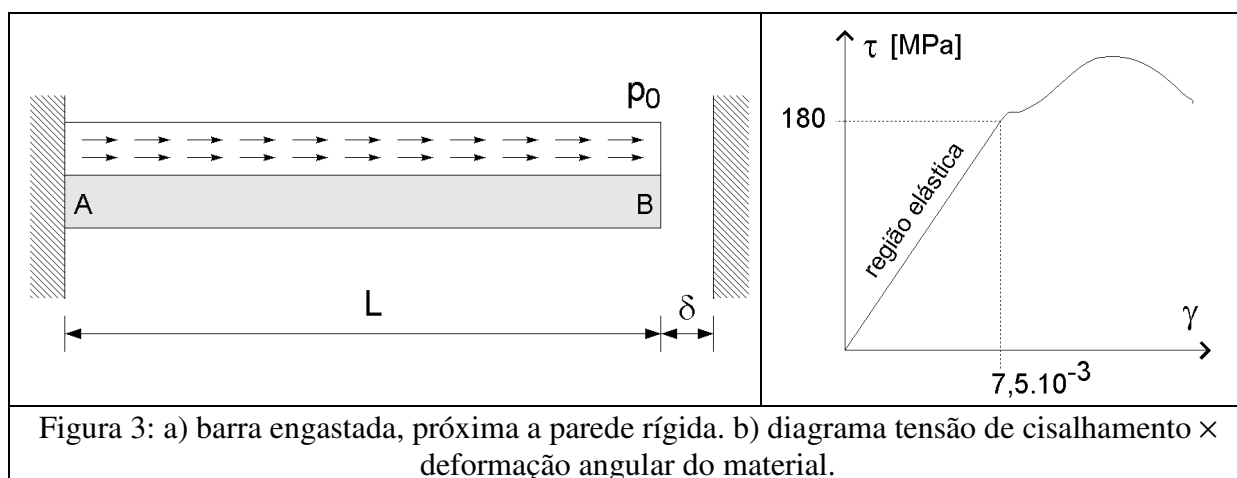
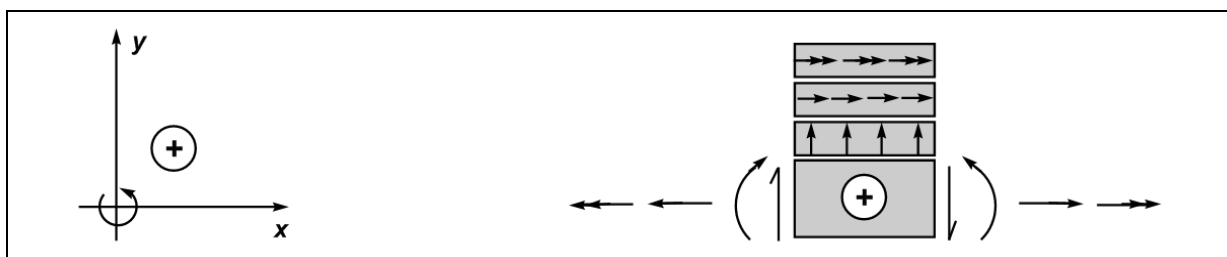


Gabarito: Exame de Resistência dos Materiais I – EM406

9 de Dezembro de 2008

Questão 3 (3,5 pontos): Uma barra de área A e comprimento L é construída com um material com razão de Poisson ν . A barra é engastada na extremidade esquerda, e uma folga δ a separa da parede à direita, como mostrado na Figura 3a. Determine a intensidade do carregamento p_0 que deve ser aplicado para que a extremidade B encoste sem folga e sem tensão na parede direita. O diagrama de tensão de cisalhamento \times distorção do material da barra é mostrado na Figura 3b.

Dados: $\nu = 0,3$; $A = 8 \cdot 10^{-3} \text{ m}^2$; $L = 5 \text{ m}$; $\delta = 0,1 \text{ mm}$.

**Solução****1) Eixos e convenções****2) Equação Diferencial**

$$EA \frac{d^2}{dx^2} u = -p(x) \quad (1)$$

3) Equação de carregamento

$$p(x) = p_0 \quad (2)$$

4) Condições de Contorno

$$u(x=0) = 0 \quad (3)$$

$$N_x(x=L) = 0 \quad (4)$$

5) Integração da equação diferencial

Substitui-se (2) em (1) para se obter

$$EA \frac{d^2}{dx^2} u = -p_0 \quad (5)$$

Integrando uma vez:

$$EA \frac{d}{dx} u(x) = N_x(x) = -p_0 x + C_1 \quad (6)$$

Integrando novamente:

$$EAu(x) = -\frac{p_0}{2} x^2 + C_1 x + C_2 \quad (7)$$

6) Determinação das constantes de integração

Aplicando (3) em (7), tem-se:

$$\begin{aligned} u(x=0) &= -\frac{p_0}{2} 0^2 + C_1 \cdot 0 + C_2 = 0 \\ \Rightarrow C_2 &= 0 \end{aligned} \quad (8)$$

Aplicando (4) e (8) em (6), tem-se:

$$\begin{aligned} N_x(x=L) &= -p_0 L + C_1 = 0 \\ \Rightarrow C_1 &= p_0 L \end{aligned} \quad (9)$$

7) Equações finais

Substitui-se (9) e (10) em (6) e (7) para se obter as expressões finais de força normal e deslocamento:

$$N_x(x) = p_0(L - x) \quad (11)$$

$$EAu(x) = -\frac{p_0}{2} x^2 + p_0 Lx \quad (12)$$

8) Análise

Deseja-se que a barra toque a parede à direita, isto é, o deslocamento na extremidade da barra deve ser igual a δ . Da Equação 12, tem-se:

$$u(x=L) = \frac{1}{EA} \left(-\frac{p_0}{2} L^2 + p_0 L \cdot L \right) = \delta$$

$$\delta = \frac{p_0 L^2}{2EA} \Rightarrow p_0 = \frac{2\delta EA}{L^2} \quad (13)$$

Do diagrama tensão de cisalhamento \times distorção, sabe-se que:

$$\tau = G \cdot \gamma \Rightarrow G = \frac{\tau}{\gamma} = \frac{180 \cdot 10^6 \text{ Pa}}{7,5 \cdot 10^{-3}} = 24 \cdot 10^9 \text{ Pa} \quad (14)$$

Das relações constitutivas, sabe-se também que $E = 2G(1+\nu)$. Assim, pode-se determinar o módulo de elasticidade:

$$E = 2G(1+\nu) = 2(24 \cdot 10^9 \text{ Pa}) \cdot (1+0,32) = 62,4 \cdot 10^9 \text{ Pa} \quad (15)$$

Por fim, substituindo (14) e (15) em (13), determina-se a carga p_0 necessária.

$$p_0 = \frac{2(0,1 \cdot 10^{-3} \text{ m})(62,4 \cdot 10^9 \text{ Pa})(8 \cdot 10^{-3} \text{ m}^2)}{(5 \text{ m})^2} = 3993,6 \frac{\text{N}}{\text{m}} \approx 4 \frac{\text{kN}}{\text{m}}$$